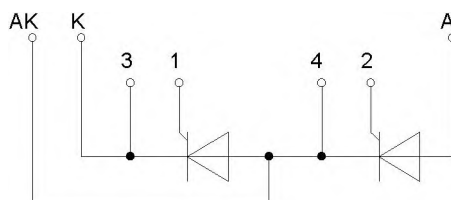
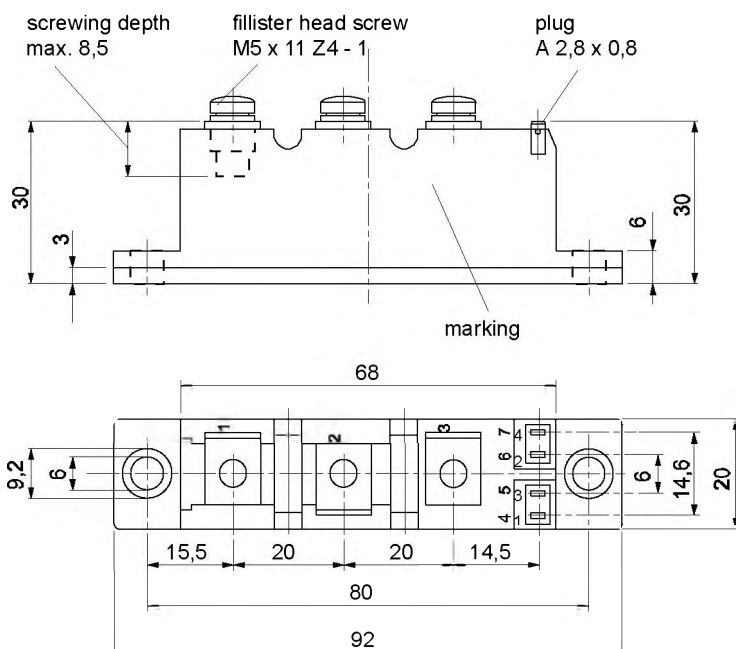


European Power-
Semiconductor and
Electronic Company

Marketing Information TT 56 N



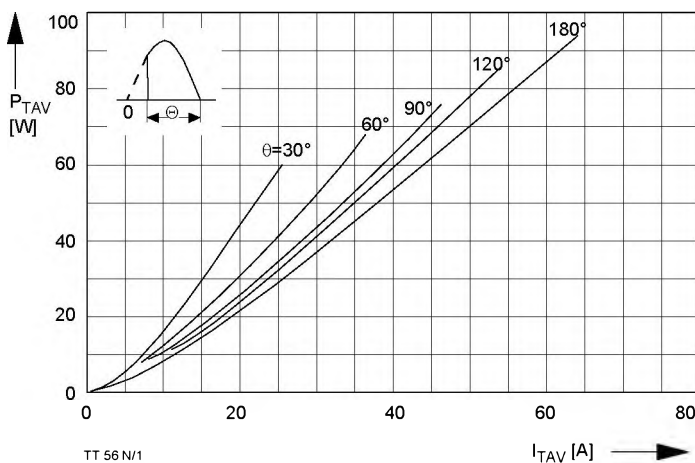


Bild / Fig. 1
Durchlaßverlustleistung je Zweig / On-state power loss per arm
 $P_{TAV} = f(I_{TAV})$
Parameter: Stromflußwinkel / current conduction angle θ

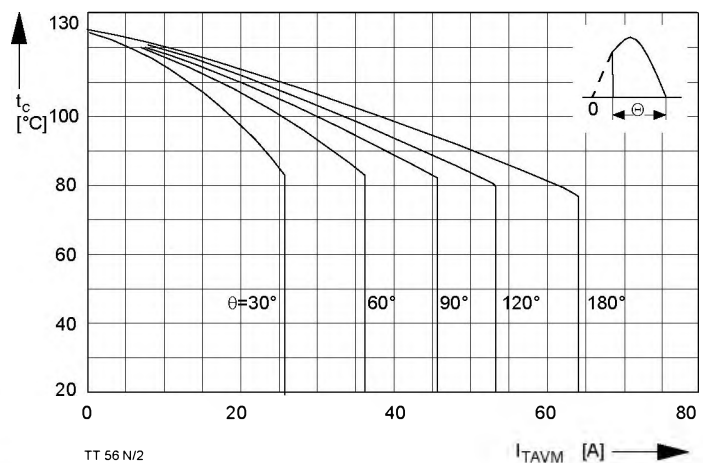


Bild / Fig. 2
Höchstzulässige Gehäusetemperatur / Maximum allowable case temperature
 $t_c = f(I_{TAVM})$
Strombelastung je Zweig / current load per arm
Parameter: Stromflußwinkel / current conduction angle θ

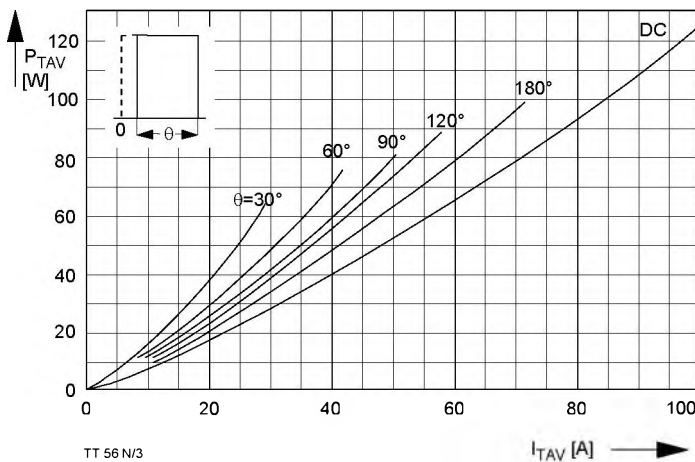


Bild / Fig. 3
Durchlaßverlustleistung je Zweig / On-state power loss per arm
 $P_{TAV} = f(I_{TAV})$
Parameter: Stromflußwinkel / current conduction angle θ

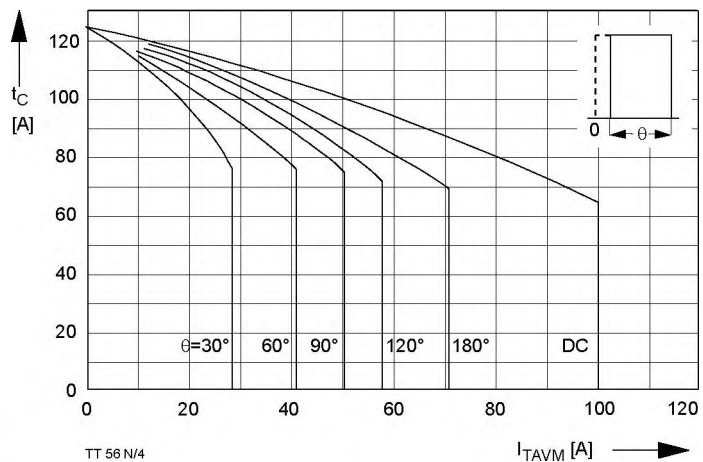


Bild / Fig. 4
Höchstzulässige Gehäusetemperatur / Maximum allowable case temperature
 $t_c = f(I_{TAVM})$
Strombelastung je Zweig / current load per arm
Parameter: Stromflußwinkel / current conduction angle θ

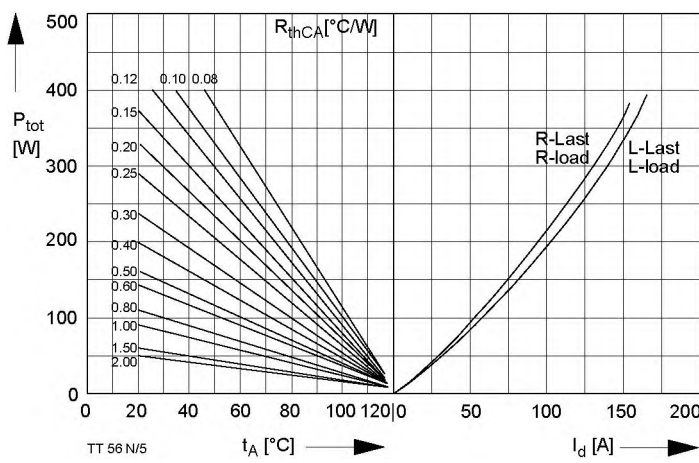


Bild / Fig. 5
B2 - Zweiplus-Brückenschaltung / Two-pulse bridge circuit
Höchstzulässiger Ausgangstrom / Maximum rated output current I_d
Gesamtverlustleist. der Schaltung / total power dissip. of the circuit P_{tot}
Parameter: Wärmewiderstand zwischen Gehäuse und Umgebung /
thermal resistance case to ambient R_{thCA}

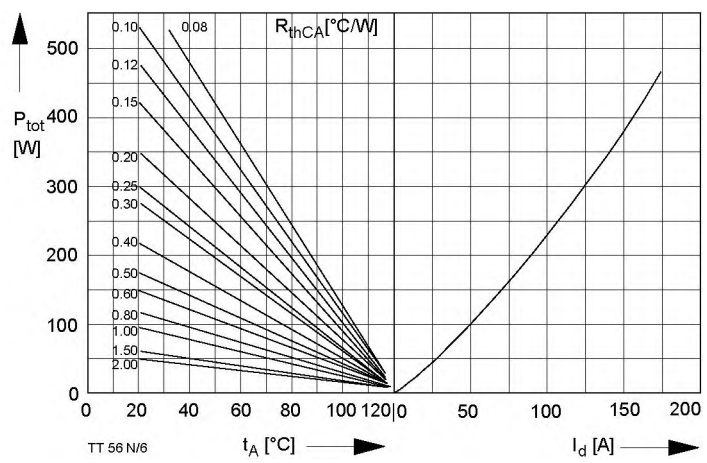


Bild / Fig. 6
B6 - Sechspuls-Brückenschaltung / Six-pulse bridge circuit
Höchstzulässiger Ausgangstrom / Maximum rated output current I_d
Gesamtverlustleist. der Schaltung / total power dissip. of the circuit P_{tot}
Parameter: Wärmewiderstand zwischen Gehäuse und Umgebung /
thermal resistance case to ambient R_{thCA}

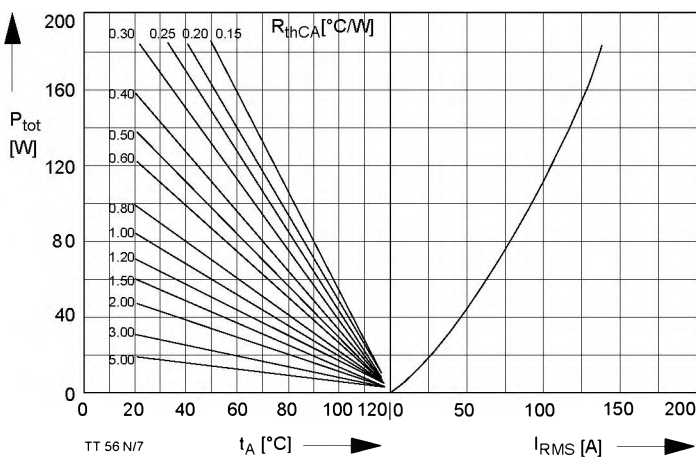


Bild / Fig. 7
W1C - Einphasen-Wechselwegschaltung / Single-phase inverse parallel circuit
Höchstzulässiger Effektivstrom / Maximum rated RMS current I_{RMS}
Gesamtverlustleist. der Schaltung / Total power dissip. of the circuit P_{tot}
Parameter: Wärmewiderstand zwischen Gehäuse und Umgebung/
thermal resistance case to ambient R_{thCA}

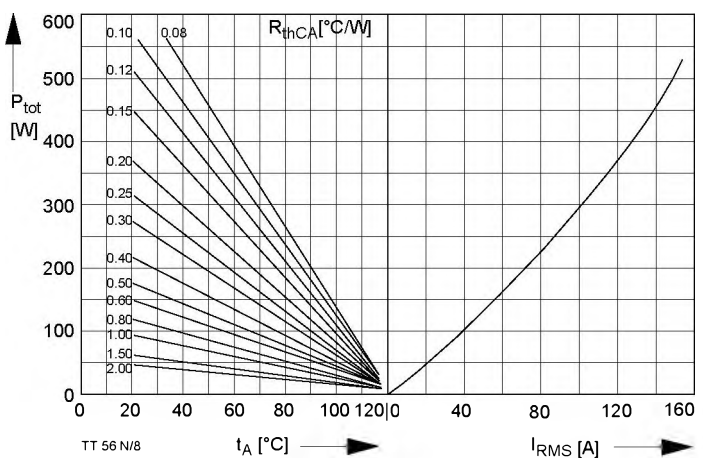


Bild / Fig. 8
W3C - Dreiphasen-Wechselwegschaltung / Three-phase inverse parallel circuit
Höchstzulässiger Effektivstrom je Phase / Maximum rated RMS current per phase I_{RMS}
Gesamtverlustleist. der Schaltung / Total power dissip. of the circuit P_{tot}
Parameter: Wärmewiderstand zwischen Gehäuse und Umgebung/
thermal resistance case to ambient R_{thCA}

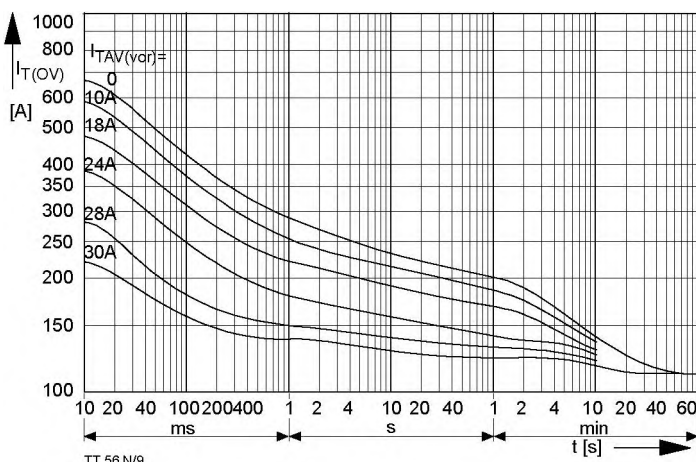


Bild / Fig. 9
B2 - Zweipuls - Brückenschaltung / Two - pulse bridge circuit
Überstrom je Zweig $I_{\text{T(OV)}}$ bei Luftselbstkühlung, $t_A=45^\circ\text{C}$,
Kühlkörper KP0,33S /
Overload on-state current per arm $I_{\text{T(OV)}}$ at natural cooling, $t_A=45^\circ\text{C}$,
heatsink type KP 0,33S
Parameter: Vorlaststrom je Zweig / pre-load current per arm $I_{\text{TAV(vor)}}$

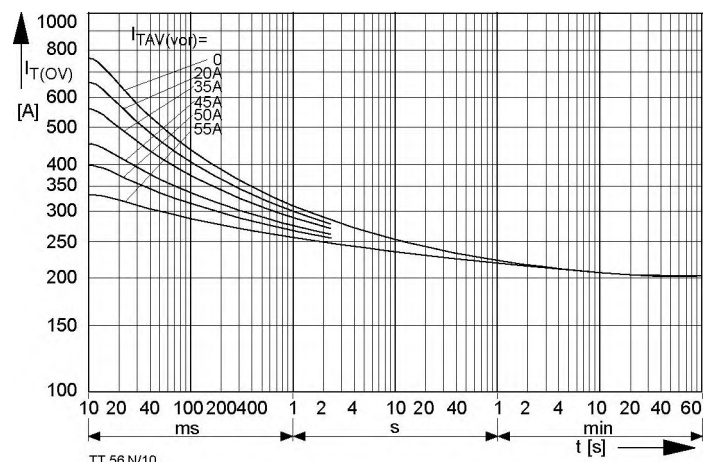


Bild / Fig. 10
B2 - Zweipuls - Brückenschaltung / Two - pulse bridge circuit
Überstrom je Zweig $I_{\text{T(OV)}}$ bei verstärkter Luftkühlung, $t_A=35^\circ\text{C}$, $V_L=90\text{ l/s}$,
Kühlkörper KP0,33S /
Overload on-state current per arm $I_{\text{T(OV)}}$ at forced cooling, $t_A=35^\circ\text{C}$, $V_L=90\text{ l/s}$,
heatsink type KP 0,33S.
Parameter: Vorlaststrom je Zweig / pre-load current per arm $I_{\text{TAV(vor)}}$

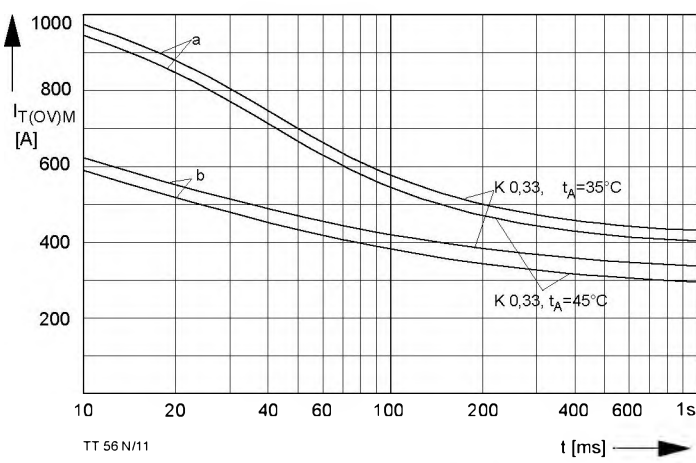


Bild / Fig. 11
Grenzstrom je Zweig $I_{\text{T(OV)M}}$ bei Luftselbstkühlung, $t_A=45^\circ\text{C}$ und verstärkter
Luftkühlung, $t_A=35^\circ\text{C}$, Kühlkörper KP 0,33S, $V_{\text{RM}} = 0,8 V_{\text{RRM}}$.
Limiting overload on state current per arm $I_{\text{T(OV)M}}$ at natural ($t_A=45^\circ\text{C}$) and
forced ($t_A=35^\circ\text{C}$) cooling, heatsink type KP 0,33S, $V_{\text{RM}}=0,8 V_{\text{RRM}}$.
a - Belastung nach Leerlauf / current surge under no-load conditions
b - Belastung nach Betrieb mit Dauergrenzstrom I_{TAVM} /
Current surge occurs during operation at limiting mean on- state current
rating I_{TAVM}

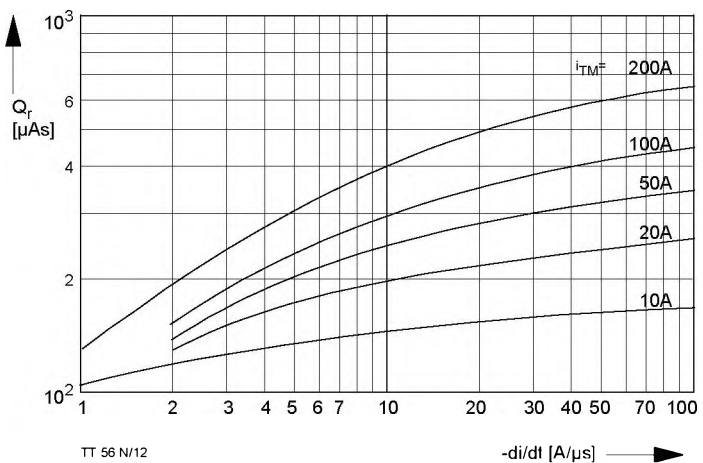


Bild / Fig. 12
Sperrverzögerungsladung / Recovery charge $Q_r = f(-di/dt)$
 $t_{vj} = t_{vj\max}$, $V_R \leq 0,5 V_{\text{RRM}}$, $V_{\text{RM}} = 0,8 V_{\text{RRM}}$
Parameter: Durchlaßstrom / On-state current i_{TM}

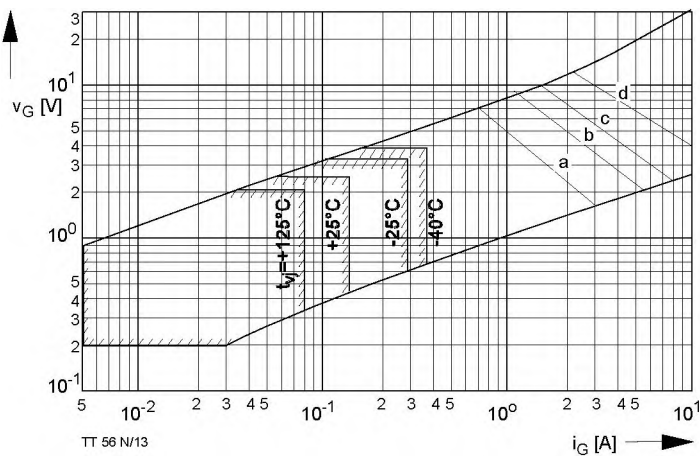


Bild / Fig. 13

Steuercharakteristik mit Zündbereichen / Gate characteristic with triggering areas, $v_G = f(i_G)$, $v_D = 6 \text{ V}$

Parameter:	a	b	c	d
Steuerimpulsdauer / Pulse duration t_g [ms]	10	1	0,5	0,1

Höchstzulässige Spitzesteuerleistung/ Maximum allowable peak gate power	W		
5	10	15	30

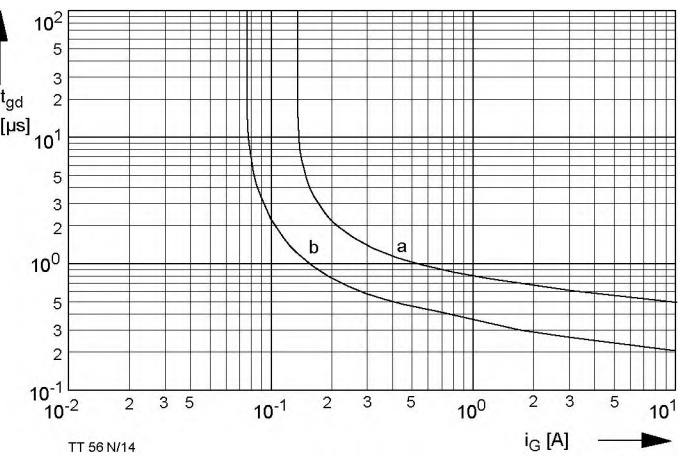


Bild / Fig. 14

Zündverzug / Gate controlled delay time $t_{gd} = f(i_G)$ $t_{vj} = 25^\circ\text{C}$, $di_G/dt = i_{GM}/1\mu\text{s}$

a - äußerster Verlauf / limiting characteristic

b - typischer Verlauf / typical characteristic

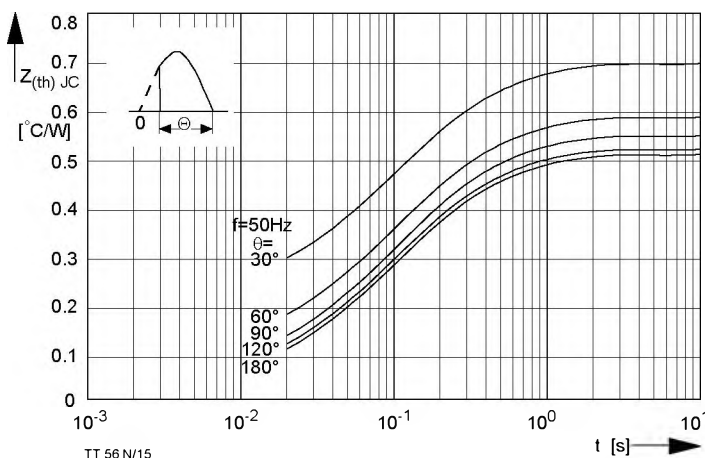


Bild / Fig. 15

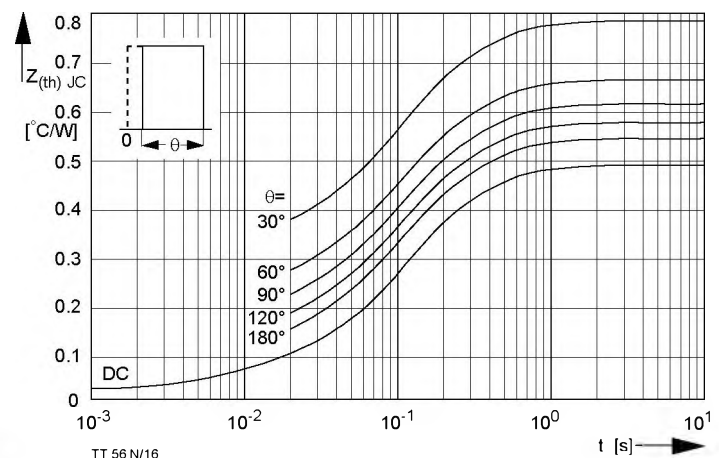
Transienter innerer Wärmewiderstand je Zweig / Transient thermal impedance per arm $Z_{(th)JC} = f(t)$ Parameter: Stromflußwinkel / current conduction angle θ 

Bild / Fig. 16

Transienter innerer Wärmewiderstand je Zweig / Transient thermal impedance per arm $Z_{(th)JC} = f(t)$ Parameter: Stromflußwinkel / current conduction angle θ Analytische Elemente des transienten Wärmewiderstandes Z_{thJC} pro Zweig für DC
Analytical elements of transient thermal impedance Z_{thJC} per arm for DC

Pos. n	1	2	3	4	5	6	7
$R_{thn} [\text{°C/W}]$	0,0199	0,0322	0,1536	0,2028	0,0815		
$\tau_n [\text{s}]$	0,00072	0,0063	0,0592	0,211	1,3		

Analytische Funktion / Analytical function:

$$Z_{thJC} = \sum_{n=1}^{n_{\max}} R_{thn} (1 - e^{-\frac{t}{\tau_n}})$$

TT 56 N, TD 56 N, DT 56 N

Elektrische Eigenschaften		Electrical properties				
Höchstzulässige Werte		Maximum rated values				
Periodische Vorwärts- und Rückwärts-Spitzensperrspannung	repetitive peak forward off-state and reverse voltages	$t_{vj} = -40^\circ\text{C} \dots t_{vj \max}$	$V_{\text{DRM}}, V_{\text{RRM}}$	600 1200	800 1400	1000 1600
Vorwärts-Stoßspitzenperrspannung	non-repetitive peak forward off-state voltage	$t_{vj} = -40^\circ\text{C} \dots t_{vj \max}$	$V_{\text{DSM}} = V_{\text{DRM}}$			
Rückwärts-Stoßspitzenperrspannung	non-repetitive peak reverse voltage	$t_{vj} = +25^\circ\text{C} \dots t_{vj \max}$	$V_{\text{RSM}} = V_{\text{RRM}}$	+ 100		V
Durchlaßstrom-Grenzeffektivwert	RMS on-state current					
Dauergrenzstrom	average on-state current	$t_c = 85^\circ\text{C}$ $t_c = 77^\circ\text{C}$	I_{TMSM} I_{TAVM}	100 56 64	A A A	
Stoßstrom-Grenzwert	surge current	$t_{vj} = 25^\circ\text{C}, t_p = 10 \text{ ms}$ $t_{vj} = t_{vj \max}, t_p = 10 \text{ ms}$	I_{TSM}	1550 1350	A A	
Grenzlastintegral	$\int i^2 dt$ -value	$t_{vj} = 25^\circ\text{C}, t_p = 10 \text{ ms}$ $t_{vj} = t_{vj \max}, t_p = 10 \text{ ms}$	$\int i^2 dt$	12000 9100	A's A's	
Kritische Stromsteilheit	current	$v_D \leq 67\%, V_{\text{DRM}}, f_o = 50 \text{ Hz}$	$(di/dt)_{cr}$	120	A/ μ s	
Kritische Spannungssteilheit	voltage	$v_L = 8V, i_{GM} = 0,6A, di_G/dt = 0,6 \text{ A}/\mu\text{s}$ $t_{vj} = t_{vj \max}, v_D = 0,67 V_{\text{DRM}}$	$(dv/dt)_{cr}$	1000	V/ μ s	
Charakteristische Werte		Characteristic values				
Durchlaßspannung	on-state voltage	$t_{vj} = t_{vj \max}, i_T = 230 \text{ A}$	v_T	max.1,82	V	
Schleusenspannung	threshold voltage	$t_{vj} = t_{vj \max}$	$V_{T(TO)}$	0,9	V	
Ersatzwiderstand	slope resistance	$t_{vj} = t_{vj \max}$	r_T	3,5	m Ω	
Zündstrom	gate trigger current	$t_{vj} = 25^\circ\text{C}, v_D = 6 \text{ V}$	I_{GT}	max. 150	mA	
Zündspannung	gate trigger voltage	$t_{vj} = 25^\circ\text{C}, v_D = 6 \text{ V}$	V_{GT}	max.2,5	V	
Nicht zündender Steuerstrom	gate non-trigger current	$t_{vj} = t_{vj \max}, v_D = 6 \text{ V}$	I_{GD}	max.5	mA	
Nicht zündende Steuerspannung	gate non-trigger voltage	$t_{vj} = t_{vj \max}, v_D = 0,5 V_{\text{DRM}}$	V_{GD}	max.0,2	V	
Haltestrom	holding current	$t_{vj} = 25^\circ\text{C}, v_D = 6 \text{ V}, R_A = 5 \Omega$	I_H	max. 200	mA	
Einraststrom	latching current	$t_{vj} = 25^\circ\text{C}, v_D = 6 \text{ V}, R_{\text{GK}} > 10 \Omega$ $i_{GM} = 0,6 \text{ A}, di_G/dt = 0,6 \text{ A}/\mu\text{s}, t_g = 20 \mu\text{s}$	I_L	max. 600	mA	
Vorwärts- und Rückwärts-Sperrstrom	forward off-state and reverse currents	$t_{vj} = t_{vj \max}, v_D = V_{\text{DRM}}, V_R = V_{\text{RRM}}$	i_D, i_R	max. 15	mA	
Zündverzug	gate controlled delay time	$t_{vj} = 25^\circ\text{C}, i_{GM} = 0,6 \text{ A}, di_G/dt = 0,6 \text{ A}/\mu\text{s}, t_{g'd}$		max.1,2	μ s	
Freiwerdezeit	circuit commutated turn-off time	siehe Techn.Erl./see Techn.Inf.	t_q	typ.80	μ s	
Isolations-Prüfspannung	insulation test voltage	RMS, f = 50 Hz, t = 1 min	V_{ISOL}	2,5	kV	
Thermische Eigenschaften		Thermal properties				
Innerer Wärmewiderstand	thermal resistance, junction to case	$\Theta = 180^\circ\text{el,sinus: pro Modul/per module}$ DC: pro Zweig/per arm pro Modul/per module pro Zweig/per arm	R_{thJC}	max.0,26	°C/W	
Übergangs-Wärmewiderstand	heatsink	pro Modul/per module pro Zweig/per arm	R_{thCK}	max.0,52	°C/W	
Höchstzul. Sperrschiichttemperatur	max. junction temperature	$t_{vj \max}$		max.0,245	°C/W	
Betriebstemperatur	operating temperature	$t_c \text{ op}$		max.0,49	°C/W	
Lagertemperatur	storage temperature	t_{stg}		max.0,08	°C/W	
An. 125 °C				max.0,16	°C/W	
Mechanische Eigenschaften	Mechanical properties					
Gehäuse, siehe Seite	case, see page					
Si-Elemente mit Druckkontakt	Si-pellet with pressure contact					
Innere Isolation	internal insulation					
Anzugsdrehmoment für mechanische Befestigung	mounting torque	Toleranz/tolerance +/- 15%	M1	4	Nm	Al_2O_3
Anzugsdrehmoment für elektrische Anschlüsse	terminal connection torque	Toleranz/tolerance +5%/-10%	M2	4	Nm	
Gewicht	weight		G	typ.160	g	
Kriechstrecke	creepage distance			12,5	mm	
Schwingfestigkeit	vibration resistance	f = 50 Hz		5 . 9,81	m/s ²	
Maßbild	outline			Seite/page 1		